

Comparing Regional and At-site L-moments for Estimation of Maximum Monthly Rainfall in the Zayandehroud Basin

Hosein Feizie¹, Sayed Saeed Islamian²

مقایسه روش‌های ایستگاهی و منطقه‌ای
گشتاورهای خطی در برآورد
بارندگیهای حداکثر ماهانه
حوزه زاینده رود

حسین فیضی^۱ سید سعید اسلامیان^۲

(دریافت ۸۴/۱/۱۶ پذیرش ۸۴/۴/۲۰)

Abstract

One of the conventional problems in frequency analysis and prediction of various hydrologic events is lack of long time records of such events in gauging stations. This problem together with inaccurate at-site estimations has caused increasing application of regional methods for such procedures. In this study, the above mentioned method was used for selection of parent distributions to fit maximum monthly rainfall data of 18 sites in the Zayandehroud basin and, consequently, the GEV distribution was selected to estimate the related parameters and quantiles.

Key words: Rainfall Regional Frequency Analysis, L-Moments, Goodness of Fit Test, Rainfall Prediction, Zayandehroud.

1- Grad. Student of Irrigation, Isfahan University of Technology
2- Associate Professor of Irrigation, Isfahan University of Technology

۱- مقدمه

چکیده

یکی از مشکلات و موانع موجود در فرآیندهای تحلیل فراوانی و پیش‌بینی پدیده‌های نظیر بارندگی، نبود آمار طولانی مدت در ایستگاه‌های مورد مطالعه می‌باشد. این مسئله در کنار مسائل مربوط به عدم دقیقت کافی در برآوردهای ایستگاهی، باعث افزایش استفاده از روش‌های منطقه‌ای در انجام چنین تحقیق‌هایی شده است. در این تحقیق، از روش یاد شده برای تعیین توزیع اصلی داده‌های بارندگی حداکثر ماهانه ۱۸ ایستگاه باران‌سنجی حوزه رودخانه زاینده‌رود، استفاده شد و در نتیجه توزیع مقادیر حدی تعمیم یافته به عنوان مناسب‌ترین توزیع، انتخاب و پارامترهای توزیع و چندکهای آن برآورد گردیده است.

واژه‌های کلیدی: تحلیل منطقه‌ای فراوانی بارندگی، گشتاور خطی، آزمون نکویی برآش، پیش‌بینی بارندگی، زاینده‌رود.

۱- کارشناس ارشد زمکشی، دانشگاه صنعتی اصفهان
۲- دانشیار گروه آبیاری، دانشگاه صنعتی اصفهان

ایستگاههای همگن، موقعیت جغرافیایی(طول و عرض جغرافیایی) و ارتفاع از سطح دریا بوده است.

۱-۲- کلیاتی در مورد تحلیل‌های منطقه‌ای بر اساس گشتاورهای خطی

این نوع تحلیل‌های منطقه‌ای شامل مراحل پنج گانه زیر است:

- ۱- تهیه داده‌های مشاهداتی
- ۲- تعیین مناطق همگن
- ۳- انتخاب توزیع تابع منطقه‌ای
- ۴- تخمین پارامترهای توزیع منتخب و
- ۵- برآوردهای چندک ^۳ برای نقاط فاقد آمار در صورت لزوم.

سه مرحله نخست بیشتر تابع قضاوت‌های شخصی و پیش‌بینی‌های ذهنی می‌باشد. پشتونه‌های عینی برای این تضمیم‌گیری‌ها می‌تواند از سنجه‌های آماری این روش یا همان نمودار نسبت گشتاورهای خطی، فراهم آید.

یک مجموعه از بیشینه‌های سالانه مستقل x را فرض کنید که در آن $N, \dots, 1 = n$ بوده و N تعداد سال‌های آماری می‌باشد، آن‌گاه رویداد سال T که دارای احتمال $P[X > x] = 1/T$ و مطابق چندک $F(x)$ تابع توزیع $F(x) = P[X < x]$ می‌باشد که $F(T-1) = F(T)$ توزیع ناشناخته بوده و با استفاده از یک یا چند آزمون نکویی برآش را انتخاب می‌شود. پارامترهای توزیع بوسیله برخی فرآیندها (نظری روش گشتاورها، حداقل درست نمایی، گشتاورهای وزنی احتمال و ...) برآورده می‌شوند. $(F(x))$ از روش‌های تحلیلی یا راه حل‌های عددی حاصل می‌شود.

اگر X مقدار واقعی یک متغیر تصادفی با تابع توزیع تجمعی $F(x)$ و تابع چندک $(F(x))$ باشد و $X_{1:n} \leq X_{2:n} \leq \dots \leq X_{n:n}$ آماره‌های مرتب شده یک نمونه تصادفی با اندازه n افزار شده از توزیع X باشند، گشتاورهای خطی X به صورت رابطه ۱ تعریف می‌شود:

$$\lambda_r \equiv r^{-1} \sum_{k=0}^{r-1} (-1)^k \binom{r-1}{k} EX_{r-k:r} \quad r = 1, 2, \dots \quad (1)$$

این آماره به این دلیل گشتاور خطی نامیده می‌شود که تابع خطی آماره مرتب شده مورد انتظار می‌باشد. امید ریاضی یک آماره مرتب شده را می‌توان به صورت رابطه ۲ ارائه نمود [۲]:

$$EX_{j:r} = \frac{r!}{(j-1)!(r-j)!} \int x^j \{F(x)\}^{r-j} \{1 - F(x)\}^{j-1} dF(x) \quad (2)$$

با جایگزینی این امید ریاضی در رابطه اول، بسط دو جمله‌ای در $F(x)$ و جمع کردن تمام ضرایب توانی $(x^j) F(x)^{r-j}$ خواهیم داشت:

$$\lambda_r = \int x^r P_{r-1}(F) dF \quad r = 1, 2, \dots \quad (3)$$

³ Quantile

یکی از مراحل اساسی در فرآیندهای تحلیل فراوانی، استفاده از آزمون‌های نکویی برآش^۱ برای تعیین نوع توزیع احتمال اصلی مناسب برای برآش بر داده‌های ایستگاهی می‌باشد، ولی از هنگامی که استفاده از رایانه در مطالعات آماری و انجام مطالعات گستردۀ مونت کارلو امکان پذیر گردید، فقدان قدرت کافی در آزمون‌های متدالو نکویی برآش در فرآیندهای ایستگاهی به صورت گستردۀ آشکار شده است. مشکلاتی مانند تخطی از فرض استقلال بین مقادیر داده و برآوردها، فقدان قدرت در آزمون‌های متدالو نکویی برآش ایستگاهی و مشکلات موجود در مورد نمونه‌های کوچک باعث گسترش استفاده از روش‌های منطقه‌ای در برآوردهای هیدرولوژیک شده است [۱]. استفاده از روش‌های منطقه‌ای برپایه گشتاورهای خطی یکی از روش‌هایی است که برای رهایی از مشکلات اشاره شده بالا، بسیار مورد توجه قرار گرفته است [۱]. گشتاورهای خطی، آماره‌هایی هستند که بخش‌های مهم توزیع‌های آماری نظری مکان، مقیاس، چولگی و کشیدگی را جمع‌بندی می‌کنند. در این روش ابزار مفید برای انتخاب یک توزیع، نمودار نسبت گشتاور خطی است که عبارت از ترسیم چولگی^۲ خطی (LCS) در مقابل کشیدگی خطی (LCK) برای داده‌های نمونه برای توزیع‌های منتخب است.

اساس نظری گشتاورهای وزنی احتمال، در راستای دیگر گشتاورهای رایج می‌باشد و برتری اصلی آن نسبت به سایر گشتاورهای، در این است که گشتاورهای وزنی احتمال، به دلیل قدرت بسیار بالا، نتایج مطمئن‌تری برای نمونه‌های کوچک بر اساس یک توزیع احتمال ارائه می‌دهد [۱].

مقاله حاضر سعی دارد با استفاده از روش گشتاورهای خطی، علاوه بر انتخاب توزیع مناسب برای تحلیل فراوانی و برآورده بارندگی حداقل ماهانه یک منطقه همگن هیدرولوژیک مشتمل بر ۱۸ ایستگاه باران سنجی در حوزه زاینده‌رود، مقایسه‌ای رانیز بین برآوردهای حاصل از کاربرد فرآیندهای ایستگاهی و منطقه‌ای انجام دهد.

۲- مواد و روشها

منطقه مورد مطالعه شامل ۱۸ ایستگاه باران سنجی حوزه رودخانه زاینده‌رود است که نام و مشخصات هر یک ایستگاه‌ها در جدول ۱ ارائه شده است. همان‌گونه که مشاهده می‌شود این ایستگاه‌ها در محدوده 58° تا 31° طول جغرافیایی و 52° تا 26° عرض جغرافیایی پراکنده شده‌اند. لازم به ذکر است که معیار همگنی در قضاوت‌های اولیه برای مشخص کردن

¹ Goodness of Fit

² Skewness

جدول ۱- نام و مشخصات ایستگاههای مورد استفاده در منطقه مورد مطالعه

| ردیف | ایستگاه | ارتفاع (متر) | طول جغرافیایی (دقیقه - درجه) | عرض جغرافیایی (دقیقه - درجه) | طول دوره آماری (سال) |
|------|-------------|--------------|------------------------------|------------------------------|----------------------|
| ۱ | اصفهان | ۱۵۹۰ | ۵۱ ۴۰ | ۳۲ ۳۷ | ۴۹ |
| ۲ | پل کله | ۱۷۲۰ | ۵۱ ۱۴ | ۳۲ ۲۳ | ۴۵ |
| ۳ | پل مزرعه | ۱۶۵۰ | ۵۱ ۲۸ | ۳۲ ۲۲ | ۳۴ |
| ۴ | گارماسه | ۱۶۱۰ | ۵۱ ۳۱ | ۳۲ ۳۲ | ۳۴ |
| ۵ | خواجو | ۱۵۸۵ | ۵۱ ۴۱ | ۳۲ ۳۷ | ۳۴ |
| ۶ | زیار | ۱۵۳۰ | ۵۱ ۵۶ | ۳۲ ۳۲ | ۳۱ |
| ۷ | دامنه فریدن | ۲۳۰۰ | ۵۰ ۲۹ | ۳۳ ۰ ۱ | ۳۴ |
| ۸ | اسکندری | ۲۱۳۰ | ۵۰ ۲۵ | ۳۲ ۴۸ | ۲۶ |
| ۹ | پایاب سد | ۱۹۶۰ | ۵۰ ۴۷ | ۳۲ ۴۳ | ۳۲ |
| ۱۰ | پل زمان خان | ۱۸۶۰ | ۵۰ ۵۴ | ۳۲ ۲۹ | ۳۳ |
| ۱۱ | تیران | ۱۸۴۰ | ۵۱ ۰ ۹ | ۳۲ ۴۲ | ۳۳ |
| ۱۲ | خمینی شهر | ۱۶۰۰ | ۵۱ ۳۲ | ۳۲ ۴۱ | ۱۲ |
| ۱۳ | میمه | ۲۰۰۰ | ۵۱ ۱۱ | ۳۳ ۲۶ | ۲۶ |
| ۱۴ | شهرخ | ۲۰۸۰ | ۵۰ ۰ ۷ | ۳۲ ۴۰ | ۲۷ |
| ۱۵ | کوهپایه | ۱۸۰۰ | ۵۲ ۲۶ | ۳۲ ۴۳ | ۲۷ |
| ۱۶ | فیروزآباد | ۲۲۵۰ | ۵۰ ۰ ۶ | ۲۹ ۳۵ | ۲۶ |
| ۱۷ | مقصود بیگ | ۱۹۸۰ | ۵۱ ۰ ۹ | ۳۱ ۵۸ | ۲۶ |
| ۱۸ | مهیار | ۱۶۵۰ | ۵۱ ۴۸ | ۳۲ ۱۶ | ۲۶ |

گشتاورهای خطی نمونه ها، t_3 و t_4 برای هر ایستگاه، به همراه متوسط ناحیه‌ای آنها در یک نمودار، نسبت گشتاورهای خطی ترسیم می‌شوند. توزیع اصلی مناسب، توزیعی است که متوسط و پراکنش داده‌ها در اطراف آن به صورت خوش‌های و تقریباً یکنواخت توزیع شده باشند. بر این اساس هاسکینگ روابطی را برای ساختن نمودارهای گشتاور خطی برای برخی توزیع‌های معروف ارائه نموده است که چند مورد از آن‌ها در جدول ۲ ارائه شده است.

۲- آزمون‌های مورد استفاده در روش گشتاورهای خطی هاسکینگ و والیس در سال ۱۹۹۳ یک معیار نکوبی برآذش براساس متوسط ناحیه‌ای کشیدگی خطی نمونه t ، ارائه کردند که بیشتر برای توزیع‌های سه پارامتری به کار می‌رود. چون تمام توزیع‌های سه پارامتری برآذش داده شده به داده‌ها، در نمودار Lcs در مقابل Lck دارای t مشابه هستند، کیفیت برآذش بوسیله اختلاف بین متوسط ناحیه‌ای t_4 و مقدار t_4^{DIST} مربوط به توزیع برآذش داده شده، می‌تواند مورد قضاوت قرار گیرد. آماره Z^{DIST} به صورت رابطه ۹ مشخص می‌شود که سنجه‌ای برای نکوبی برآذش می‌باشد:

$$Z^{\text{DIST}} = (t_4 - t_4^{\text{DIST}}) / \sigma_4 \quad (9)$$

که در آن σ_4 انحراف استاندارد t_4 است [۴].

که در آن، P_r^* از رابطه ۴ قابل حصول است:

$$P_r^*(F) = \sum_{k=0}^r p_{r,k}^* F^k \quad (4)$$

P_r^* چندجمله‌ای l ام انتقال یافته لثاندر است که رابطه آن با چند جمله‌ای های معمولی لثاندر، $P_r(u)$. به صورت $P_r^*(u) = P_r(2u - 1)$ می‌باشد [۳].

چند گشتاور خطی اول عبارتند از:

$$\lambda_1 = EX = \int_0^1 \chi(F) dF, \quad (5)$$

$$\lambda_2 = \frac{1}{2} E(X_{2:2} - X_{1:2}) = \int_0^1 \chi(F)(2F - 1) dF, \quad (6)$$

$$\lambda_3 = \frac{1}{3} E(X_{3:3} - 2X_{2:3} + X_{1:3}) = \int_0^1 \chi(F)(6F^2 - 6F + 1) dF, \quad (7)$$

$$\lambda_4 = \frac{1}{4} E(X_{4:4} - 3X_{3:4} + 3X_{2:4} - X_{1:4}) = \int_0^1 \chi(F)(20F^3 - 30F^2 + 12F - 1) dF \quad (8)$$

$\lambda_1, \lambda_2, \lambda_3, \lambda_4$ و λ_4 به ترتیب میانگین، انحراف معیار، چولگی و کشیدگی می‌باشند.

بر پایه نظریه هاسکینگ، نمودارهای ضریب چولگی خطی در مقابل ضریب کشیدگی خطی برای مشخص کردن توزیع‌های خاص مورد استفاده قرار می‌گیرد [۱]. برای یک ناحیه معین، نسبت

جدول ۲- روابط مورد استفاده برای رسم نمودارهای نسبت گشتاورهای خطی [۱]

| نمودار | رابطه ترسیم نمودار | توزیع |
|--|--------------------|---------------------------------|
| $\tau_3 = 1.3$ | $\tau_4 = 1.6$ | توزیع گامبل |
| $\tau_4 = 0.10701 + 0.1109\tau_3 + 0.8483\tau_3^2 - 0.0666\tau_3^3 + 0.0085\tau_3^4 - 0.0420\tau_3^5 + 0.0376\tau_3^6$ | | توزیع مقادیر حدی تعیین یافته |
| $\tau_4 = 0.1224 + 0.30\tau_3^2 - 0.9581\tau_3^4 - 0.5748\tau_3^6 + 0.1938\tau_3^8$ | | توزیع های گاما و پیرسون نوع سوم |
| $\tau_4 = -0.70347 + 0.144431\tau_3^2 - 0.0387\tau_3^4 - 0.1460\tau_3^6 + 0.0335\tau_3^8$ | | توزیع ویک بی با کران پایین |
| $\tau_4 = 0.16667 + 0.83\tau_3^2 - 0.33$ | | توزیع لجیستیک تعیین یافته |

غیرهمگنی در یک گروه از مکان‌ها و ارزیابی این که آیا آنها می‌توانند بطور معقول به عنوان یک گروه همگن در نظر گرفته شوند، یا خیر، ارائه شده است. به ویژه این که سنجه غیرهمگنی، تغییرات بین مکانی گشتاورهای خطی نمونه را برای گروهی از مکان‌ها با مقادیر موردنظر مقایسه می‌کند. سه معیار تغییرپذیری در V_1 , V_2 و V_3 در دسترس می‌باشد:

۱- بر اساس $LC_{V(t)}$ انحراف استاندارد وزنی شده (t) از رابطه ۱۳ به دست می‌آید:

$$V_1 = \sum_{i=1}^{NS} N_i (t^{(i)} - \bar{t})^2 / \sum_{i=1}^{NS} N_i \quad (13)$$

که در آن:

NS: تعداد مکان‌ها، N_i : طول دوره آماری در هر مکان و t مقدار متوسط $t_{(i)}$ است که به وسیله رابطه ۱۴ به دست می‌آید:

$$\bar{t} = (\sum_{i=1}^{NS} N_i t^{(i)})^2 / \sum_{i=1}^{NS} N_i \quad (14)$$

۲- بر اساس LC_v و LC_s ، فاصله متوسط وزنی از مکان تا متوسط وزنی گروه، در یک نمودار t در مقابل t_3 با استفاده از رابطه ۱۵ محاسبه می‌شود:

(15)

$$V_2 = \sum_{i=1}^{NS} N_i \{(t^{(i)} - \bar{t})^2 (t_3^{(i)} - \bar{t}_3)^2\}^{1/2} / \sum_{i=1}^{NS} N_i$$

۳- بر اساس چولگی خطی (t_3) و کشیدگی خطی (t_4)، فاصله متوسط وزنی از مکان تا میانگین وزنی گروه، در یک نمودار t_3 در مقابل t_4 از طریق به کارگیری رابطه ۱۶ به دست می‌آید:

$$V_3 = \sum_{i=1}^{NS} N_i \left\{ (t_3^{(i)} - \bar{t}_3)^2 (t_4^{(i)} - \bar{t}_4)^2 \right\}^{1/2} / \sum_{i=1}^{NS} N_i \quad (16)$$

مقدار σ_4 را می‌توان با شبیه سازی پس از برآذش دادن یک توزیع کاپا به مشاهدات به دست آورد. برآذش را می‌توان مناسب اعلام کرد اگر Z^{DIST} به اندازه کافی به صفر نزدیک باشد. معیار معقول و مناسب برای این کار این است که $|Z^{\text{DIST}}| < 1/4$ باشد [۵].

هاسکینگ و والیس در سال ۱۹۹۳ همچنین دو آماره برای انجام آزمون همگنی ناحیه ارائه کردند. اولین آماره معیار ناهماهنگی است که مشخص کننده مکان‌های ناهماهنگ باکل گروه داده‌ها می‌باشد. برآوردهای سنجه ناهماهنگی، D_i ، چگونگی دوری یک مکان از مرکز گروه را مشخص می‌کند.

اگر بردار $u_i = (t^{(i)}, t_3^{(i)}, t_4^{(i)})^T$ شامل مقادیر t , t_3 , t_4 یا همان نسبت گشتاورهای خطی نمونه برای مکان (i) باشد، بنابراین متوسط گروه برای NS مکان توسط رابطه ۱۰ مشخص می‌شود:

$$u = 1/NS \sum_{i=1}^{NS} u_i \quad (10)$$

ماتریس کواریانس نمونه نیز به صورت رابطه ۱۱ خواهد بود:

$$S = (NS-1)^{-1} \sum_{i=1}^{NS} (u_i - \bar{u})(u_i - \bar{u})^T \quad (11)$$

معیار ناجوری یا ناهماهنگی بواسیله رابطه زیر تعریف می‌شود:

$$D_i = \frac{1}{3} (u_i - \bar{u})^T S^{-1} (u_i - \bar{u}) \quad (12)$$

مکان ناهماهنگ خواهد بود اگر D_i بزرگ باشد. یک سنجه مناسب برای طبقه بندی اینکه یک ایستگاه ناهماهنگ است یا خیر، این است که D_i بزرگتر یا مساوی ۳ باشد. دومین آماره ارائه شده توسط هاسکینگ و والیس در سال ۱۹۹۳، سنجه غیر همگنی است که با هدف برآورد درجه

می‌گیرد. برای یک توزیع دارای k پارامتر، باید $\Phi_1, \Phi_2, \dots, \Phi_k$ ، برآورده شود. ابتدا k گشتاورهای نمونه معادل با گشتاورهای مربوط به جامعه قرار گرفته و سپس معادلات حاصل به صورت همزمان برای پارامترهای مجهول $\Phi_1, \Phi_2, \dots, \Phi_k$ حل می‌شوند. این در حالی است که در روش برآورد منطقه‌ای پارامترهای توزیع، ابتدا پارامتر شکل توزیع بر اساس میانگین منطقه‌ای گشتاورهای وزنی در منطقه مورد مطالعه برآورده شده و بدین پارامترها بر اساس این پارامترها برآورده می‌شوند. در نتیجه برای یک منطقه همگن مقدار پارامتر شکل توزیع منطقه‌ای مقدار یکسانی خواهد بود. لازم به توضیح است که پیش از برآورده شدن پارامترها و چندک‌ها، برای به دست آوردن پیش‌بینی متوسطی از مقدار پدیده‌ها در دوره‌های برگشت مختلف، از رابطه‌های ترسیم موقعیت استفاده می‌شود. هاسکینگ رابطه ۱۹ را برای محاسبه موقعیت ترسیمی با استفاده از گشتاورهای خطی ارائه کرده است [۱]:

$$l_r = \sum_{i=1}^n p_{i:n} X_{i:n} \quad (19)$$

که در آن:

$X_{i:n}$ گشتاور خطی نمونه، $p_{i:n}$ موقعیت ترسیمی و $X_{i:n}$ مقدار داده مشاهده شده با رتبه i ام در یک نمونه مرتب شده با اندازه n می‌باشد.

۳- نتایج

از نتایج به دست آمده از محاسبه گشتاورهای خطی (به کمک روابط ۵ تا ۸) که در جدول ۳ ارائه شده است، نمودار نسبت گشتاورهای خطی ترسیم گردیده است (شکل‌های ۱ و ۲). اولین نکته قابل توجه در نتایج به دست آمده این است که به نظر می‌رسد در منطقه مورد مطالعه، ایستگاه ناهمگون وجود نداشته باشد. چرا که مقدار آماره D_i (رابطه ۱۲) در هیچ‌کدام از ایستگاه‌ها بیشتر از مقدار $2/49$ نمی‌باشد (جدول ۴)، در حالی که برای این که یک ایستگاه ناهمانگ با ایستگاه‌های دیگر در نظر گرفته شود، باید مقدار این آماره بیش از ۳ باشد [۴].

نکته دیگر این است که میانگین چولگی و کشیدگی خطی منطقه‌ای برای داده‌های مورد استفاده به ترتیب برابر $1/454$ و $0/1522$ می‌باشد که نشانگر چولگی و کشیدگی بسیار کم توزیع داده‌های منطقه می‌باشد. علاوه بر آن در نتایج آزمون های ناهمگنی که در جدول ۵ آمده است، مشاهده می‌شود که مقدار آماره‌های همگنی H_1, H_2 و H_3 به

برای ارزیابی معیار غیرهمگنی، یک توزیع کاپا، به گروه گشتاورهای خطی متوسط برآذش داده می‌شود [۴]. دلیل استفاده از توزیع کاپاای ۴ پارامتری برای انجام آزمون همگنی، این است که توزیع کاپا به گونه‌ای که برای انجام آزمون که در بردارنده ویژگی‌های سه توزیع پارتوی تعیین شده است، مقادیر حدی تعیین یافته و لجیستیک تعیین یافته به صورت حالت‌های خاص این توزیع می‌باشد [۵]. تابع توزیع تجمعی کاپای چهار پارامتری به صورت رابطه ۱۷ می‌باشد:

$$F(x) = \{1 - h[1 - k(x - \xi)/\alpha]\}^{1/h} \quad (17)$$

در این معادله، ξ پارامتر موقعیت، α پارامتر مقیاس و k و h پارامترهای شکل می‌باشند.

V_i پس از انجام شبیه سازی مونت کارلو، (V_i) که در آن V_i هر یک از سه معیار V_1, V_2 و V_3 مشخص شده در بالا هستند) برای هر ناحیه محاسبه می‌شود. از داده‌های شبیه‌سازی شده میانگین V_i و انحراف استاندارد S_i از V_i تعیین می‌شوند، معیار غیرهمگنی با استفاده از رابطه ۱۸ مشخص می‌شود و یک ناحیه غیرهمگن خواهد بود اگر H_i به اندازه کافی بزرگ باشد:

$$H_i = (V_i - \mu_v)/\sigma_v \quad (18)$$

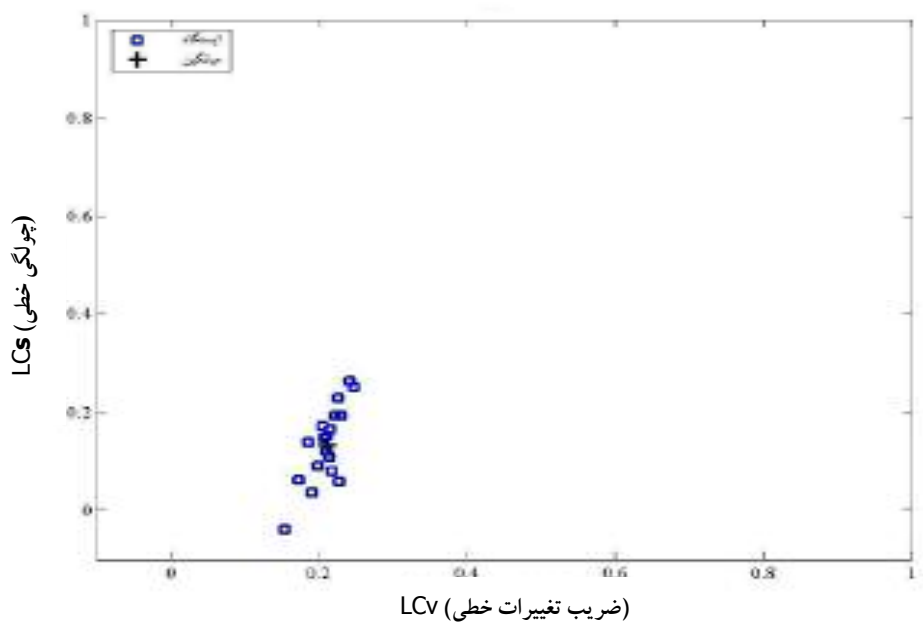
هاسکینگ و والیس در سال ۱۹۹۳ پیشنهاد کردند که یک ناحیه وقتی می‌تواند ناحیه همگن قابل قبول باشد، که H_i کمتر یا مساوی یک باشد و می‌تواند ناحیه نسبتاً غیرهمگن باشد، اگر H_i بزرگتر از ۱ و کوچکتر یا مساوی ۲ باشد و ناحیه‌ای مشخصاً غیرهمگن خواهد بود اگر H_i بزرگتر از ۲ باشد [۶]. افزون بر این، هاسکینگ و والیس مشاهده کردند که آماره‌های H_2 و H_3 بر اساس معیارهای V_2 و V_3 قادر توان لازم برای تفکیک بین نواحی همگن و غیرهمگن بوده و آماره H_1 بر اساس معیار V_1 توان خیلی بهتری برای تفکیک دارد. بنابراین آماره H_1 بر اساس V_1 به عنوان شاخص اساسی برای غیرهمگنی توصیه شده است. همچنین H_1 شاخص بهتری برای غیرهمگنی در نواحی بزرگ ارائه می‌کند ولی برای همگنی نواحی کوچک‌گرایش به سمت شاخص‌های غیرواقعی دارد و حالت شاخص‌های کاذب را ایجاد می‌کند [۷].

۳-۲- برآورد پارامترها

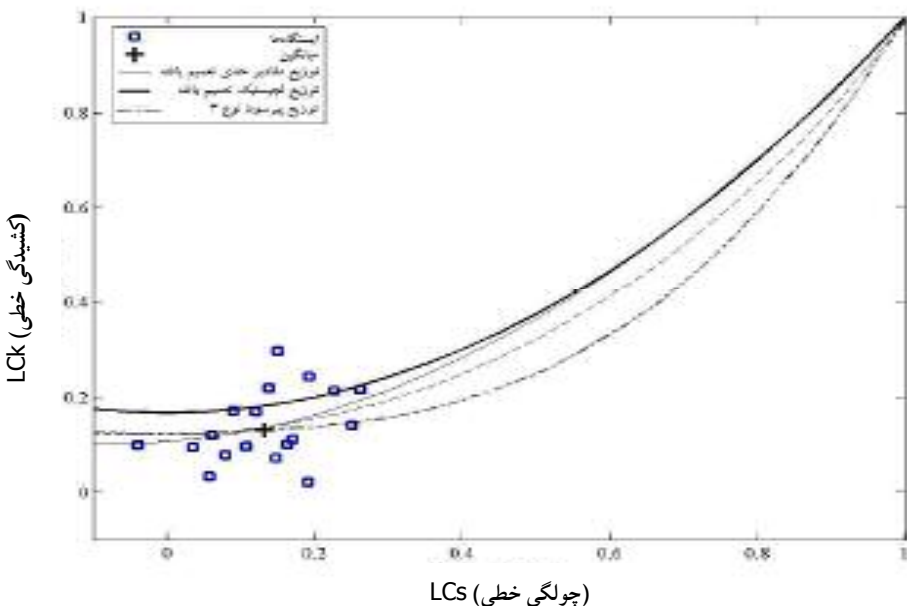
برآورده شدن پارامترها در این روش به وسیله معادل قراردادن گشتاورهای توزیع با گشتاورهای مربوط به نمونه صورت

جدول ۳- مقدار نسبت گشتاورهای خطی برای ایستگاههای مورد مطالعه

| شماره ایستگاه | نام ایستگاه | تعداد سالهای اول آماری (میلی متر) | گشتاور خطی | ضریب تغییرات خطی | ضریب چولگی خطی | نسبت گشتاور خطی پنجم |
|-------------------------------------|-------------|-----------------------------------|------------|------------------|----------------|----------------------|
| ۱ | اصفهان | ۴۹ | ۳۹/۸۴ | ۰/۰۵۱۰ | ۰/۰۵۰۹ | ۰/۰۵۱۰ |
| ۲ | پل کله | ۴۵ | ۵۰/۰۴ | -۰/۰۱۰۸ | ۰/۰۵۰۸ | -۰/۰۱۰۸ |
| ۳ | پل مزرعه | ۳۴ | ۴۰/۰۵۳ | ۰/۰۴۲۱ | ۰/۱۲۶۹ | ۰/۰۴۲۱ |
| ۴ | گارماسه | ۳۴ | ۴۷/۰۳۲ | ۰/۰۹۹۶ | ۰/۱۲۸۱ | ۰/۰۹۹۶ |
| ۵ | خواجو | ۳۴ | ۳۶/۰۷۰ | ۰/۰۶۹۶ | ۰/۱۵۹۶ | ۰/۰۶۹۶ |
| ۶ | زیار | ۳۱ | ۳۳/۰۳۶ | ۰/۰۸۷۳ | ۰/۲۲۱۶ | ۰/۰۸۷۳ |
| ۷ | دامنه فریدن | ۳۴ | ۹۱/۱۱ | ۰/۰۲۶۸ | ۰/۱۲۱۶ | ۰/۰۲۶۸ |
| ۸ | اسکندری | ۲۶ | ۱۰۶/۰۵۸ | ۰/۰۶۴۳ | ۰/۱۵۰۰ | ۰/۰۶۴۳ |
| ۹ | پایاب سد | ۳۲ | ۷۲/۰۹۶ | ۰/۱۶۱۹ | ۰/۲۸۸۷ | ۰/۱۶۱۹ |
| ۱۰ | پل زمان خان | ۳۳ | ۱۰۲/۰۷۴ | ۰/۰۷۳۶ | ۰/۲۲۹۲ | ۰/۰۷۳۶ |
| ۱۱ | تیران | ۳۳ | ۵۰/۰۸۲ | ۰/۰۸۲۴ | ۰/۱۸۰۶ | ۰/۰۸۲۴ |
| ۱۲ | خمینی شهر | ۱۲ | ۴۶/۰۱۱ | ۰/۰۵۲۴ | ۰/۲۲۷۹ | ۰/۰۵۲۴ |
| ۱۳ | میمه | ۲۶ | ۳۰/۰۸۸ | ۰/۰۸۶۳ | ۰/۱۱۳۰ | ۰/۰۸۶۳ |
| ۱۴ | شهرخ | ۲۷ | ۱۱۲/۰۵۶ | ۰/۰۲۲۴ | ۰/۱۱۱۸ | ۰/۰۲۲۴ |
| ۱۵ | کوهپایه | ۲۷ | ۳۲/۰۲۹ | ۰/۰۱۳۳ | ۰/۱۲۷۸ | ۰/۰۱۳۳ |
| ۱۶ | فیروزآباد | ۲۶ | ۶۴/۰۵۰ | ۰/۱۱۶۷ | ۰/۱۸۷۴ | ۰/۱۱۶۷ |
| ۱۷ | مقصود بیگ | ۲۶ | ۳۶/۰۵۰ | ۰/۱۲۴۸ | ۰/۲۴۴۹ | ۰/۱۲۴۸ |
| ۱۸ | مهیار | ۲۶ | ۴۶/۰۲۳ | -۰/۰۱۹۰ | ۰/۱۴۰۹ | -۰/۰۱۹۰ |
| میانگین منطقه‌ای نسبتهای گشتاور خطی | | | | | | |
| پارامترهای توزیع منطقه‌ای ویک بی | | | | | | |
| - | | | | | | |
| -۰/۰۴۲۷ | | | | | | |
| ۰/۳۶۸۵ | | | | | | |
| ۴/۹۸۳۷ | | | | | | |
| ۱/۸۵۴۷ | | | | | | |
| ۰/۳۳۶۶ | | | | | | |



شکل ۱- نمودار نسبت گشتاورهای خطی LCV-LCS برای ایستگاههای منطقه مورد مطالعه



شکل ۲- نمودار نسبت گشتاورهای خطی LVs-LCs برای ایستگاههای منطقه مورد مطالعه

پس از انتخاب توزیع مورد اشاره به عنوان توزیع مناسب برای این منطقه، باید پارامترهای این توزیع برآورده می‌گردید تا در نهایت بتوان با محاسبه چندک‌های مناسب با دوره‌های برگشت مختلف، برآورده از میزان بارندگی حداقل ماهانه با احتمالات مختلف را به دست آورد. پیش از محاسبه پارامترها و چندک‌ها، با استفاده از رابطه (۱۹) برآورد متوسطی از این بارندگی‌ها در ایستگاههای مختلف محاسبه گردید که در جدول ۷ ارائه شده است. همان‌گونه که مشاهده می‌شود، با استفاده از این رابطه تنها می‌توان چندک را در محدوده طول دوره آماری محاسبه کرد و به همین دلیل است که در بیشتر ایستگاه‌ها تنها در حد دوره برگشت ۵۰ سال امکان محاسبه این مقادیر وجود داشته است و برای ایستگاه خمینی‌شهر که تنها ۱۲ سال آمار در دسترس است، این محدوده به دوره برگشت ۲۰ سال تنزل پیدا کرده است.

تابع چگالی احتمال توزیع مقادیر حدی تعمیم یافته به صورت رابطه ۲۰ است [۸]:

$$f(x) = \frac{1}{\alpha} \left[1 - k \left(\frac{k-u}{\alpha} \right) \right]^{-1} e^{-\left[1 - k \left(\frac{x-\alpha}{\alpha} \right) \right]k} \quad (20)$$

دامنه تغییر متغیر x ، وابسته به علامت پارامتر شکل (k) می‌باشد. گشتاورهای خطی توزیع مقادیر حدی به صورت رابطه‌های ۲۱ و ۲۲ هستند [۹]:

$$\lambda_1 = \xi + \alpha \{ 1 - \Gamma(1+k) \Gamma(1-k) \} / k \quad (21)$$

ترتیب برابر $1/65$ ، $1/77$ و $1/02$ -می باشد، که نشانه همگن بودن منطقه مورد مطالعه می‌باشد، چرا که هیچ یک از مقادیر فوق مقداری بیش از یک ندارند. ولی باید توجه داشت که در تعیین همگنی یا غیر همگنی یک منطقه معیار اساسی، H_1 می‌باشد [۶]. چرا که در نواحی‌ای که تعداد مکان‌های موجود در آن، مانند این ناحیه کم و طول آمار موجود در بیشتر ایستگاه‌های منطقه نیز کم (کمتر از ۳۰ سال) می‌باشد، آمارهای H_2 و H_3 توانایی لازم را برای تفکیک نواحی همگن و غیرهمگن نداشته و ممکن است حالت کاذبی از همگنی را ارائه دهنده. از طرفی مشاهده می‌شود که تمامی این آمارهای دارای مقادیر منفی می‌باشند که بیان گر پراکندگی کمتر داده‌های این ایستگاه‌ها نسبت به مقدار مورد انتظار برای یک منطقه همگن می‌باشد.

با در نظر گرفتن آماره Z پیشنهادی هاسکینگ [۴]. برای تعیین توزیع‌های مناسب بر داده‌های یک منطقه همگن و نیز با مقایسه نتایج محاسبات (جدول ۶) برای این آماره با مقدار مجاز برای پذیرش یک توزیع به عنوان توزیع مناسب $(|Z^{\text{DIST}}| \leq 1/64)$ می‌توان گفت که توزیع مناسب برای این منطقه، توزیع مقادیر حدی تعمیم یافته می‌باشد. که با ترسیم نمودار نسبت گشتاورهای خطی برای این توزیع‌ها و مقادیر این نسبت‌ها برای ایستگاه‌های منطقه (شکل ۲)، مشاهده می‌شود که این توزیع برآش نسبتاً خوبی با داده‌های منطقه دارد.

جدول ۴- مقدار آماره ناهمانگی برای ایستگاههای مختلف

| شماره ایستگاه | نام ایستگاه | تعداد سالهای آماری | آماره ناهمانگی (D_i) |
|---------------|-------------|--------------------|--------------------------|
| ۱ | اصفهان | ۴۹ | ۲/۴۹ |
| ۲ | پل کله | ۴۵ | ۱/۸۸ |
| ۳ | پل مزرعه | ۳۴ | ۰/۳۰ |
| ۴ | گارماسه | ۳۴ | ۰/۸۸ |
| ۵ | خواجو | ۳۴ | ۱/۰۵ |
| ۶ | زیار | ۳۱ | ۰/۶۴ |
| ۷ | دامنه فریدن | ۳۴ | ۰/۱۹ |
| ۸ | اسکندری | ۲۶ | ۱/۳۱ |
| ۹ | پایاب سد | ۲۲ | ۱/۶۵ |
| ۱۰ | پل زمان خان | ۳۳ | ۱/۳۳ |
| ۱۱ | تیران | ۳۳ | ۰/۲۶ |
| ۱۲ | خمینی شهر | ۱۲ | ۱/۲۱ |
| ۱۳ | میمه | ۲۶ | ۰/۷۶ |
| ۱۴ | شهرخ | ۲۷ | ۰/۶۰ |
| ۱۵ | کوهپایه | ۲۷ | ۰/۵۴ |
| ۱۶ | فیروزآباد | ۲۶ | ۰/۱۵ |
| ۱۷ | مقصود بیگ | ۲۶ | ۰/۹۸ |
| ۱۸ | مهرار | ۲۶ | ۱/۷۵ |

با جایگزین کردن $T = 1 - F$, تخمین چندک برای دوره
برگشت T به شرح رابطه ۳۰ خواهد بود:

$$\hat{X}_T = \hat{u} + \frac{\hat{\alpha}}{k} [1 - \{-\ln(1 - \frac{1}{T})\} k^6] \quad (30)$$

با استفاده از این رابطه، چندک های متناسب با دوره های
برگشت مختلف، براساس پارامترهای برآورده شده از روش های
منطقه ای و ایستگاهی محاسبه شده، که در جدول ۹ قابل
مشاهده است.

۴- بحث و نتیجه گیری

با نگاهی به شکل ۳، که نشان دهنده تفاوت های نسبی
موجود بین برآوردهای حاصل از دو روش ایستگاهی و
منطقه ای (اختلاف مقدار بین دو برآورد نسبت به مقدار برآورده
منطقه ای) در دوره های برگشت مختلف می باشد، چند نکته
مشخص می شود:

(۱) یک روند افزایشی تفاوت ها، هماهنگ با افزایش طول
دوره برگشت، در ایستگاه های مختلف دیده می شود. به عبارت
دیگر این تفاوت که در دوره برگشت ۱۰ سال، در تمامی
ایستگاه ها کمتر از ده درصد می باشد، در دوره برگشت ۲۰۰

$$\lambda_2 = \alpha(1 - 2^{-k})\Gamma(1 + k)/k, \quad (22)$$

و نسبت گشتاورهای خطی سوم و چهارم به شرح روابط ۲۳ و
۲۴ عبارتند از:

$$\tau_3 = 2(1 - 3^{-k})/(1 - 2^{-k}) - 3 \quad (23)$$

$$\tau_4 = (1 - 6.2^{-k} + 10.3^{-k} - 5.4^{-k})/(1 - 2^{-k}) \quad (24)$$

برآوردهای پارامتر این توزیع را می توان به صورت
روابط ۲۵ تا ۲۸ نوشت [۹]:

$$z = 2/(3 + t_3) - \log 2 / \log 3 \quad (25)$$

$$\hat{k} \approx 7.8590z + 2.9554z^2 \quad (26)$$

$$\hat{\alpha} = l_2 \hat{k} (1 - 2^{-\hat{k}}) \Gamma(1 + \hat{k}) \quad (27)$$

$$\hat{u} = l_1 + \hat{\alpha} \{ \Gamma(1 + \hat{k}) - 1 \} / \hat{k} \quad (28)$$

بر این اساس پارامترهای توزیع از دو روش ایستگاهی و
منطقه ای برآورده گردیده (جدول ۸) و از آنجایی کهتابع توزیع
مقداری حدی تعیین یافته، از جمله توابعی است که می توان آن
را به صورت معکوس نوشت، تابع چندک آن به صورت رابطه
۲۹ خواهد بود [۹]:

$$X = u + \alpha \{ 1 - (-\log F)^k \} / k \quad (29)$$

این نکته که یکی دیگر از بیشترین تفاوت های موجود مربوط به ایستگاه گارماسه با ۳۴ سال آمار می باشد، بیشتر تأیید می شود.
 (۳) در مورد دو ایستگاه دارای بالاترین اندازه نمونه یعنی ایستگاه های اصفهان و پل کله مشاهده می شود که برآوردهای ایستگاهی و منطقه ای هر دو این ایستگاه ها دارای تفاوتی کمتر از ۵ درصد در دوره برگشت ۲۰۰ سال می باشند، به عبارت دیگر افزایش طول دوره آماری یا همان اندازه نمونه به حدود ۵ سال می تواند باعث به دست آوردن برآوردهای نسبتاً دقیق از کاربرد روش ایستگاهی گردد.

سال تا حدود ۳۵ درصد برای دو ایستگاه زیار و خمینی شهر افزایش می یابد.

(۲) بیشترین تفاوت ها مربوط به دو ایستگاه خواجه و خمینی شهر می باشد. این میزان تفاوت ها نشان دهنده این است که نه تنها برآوردهای ایستگاهی حاصل از نمونه های کوچک (کمتر از ۲۰ سال) به هیچ وجه و به ویژه برای دوره های برگشت بالا قابل اعتماد نیست، بلکه در مورد ایستگاه های آمار متوسط (حدود ۳۰ سال) نیز همیشه نمی توان انتظار برآوردهای قابل اعتمادی را داشت. که این مسأله با توجه به

جدول ۵- معیارهای همگنی برای منطقه مورد مطالعه

| تعداد شبیه سازی انجام شده | تعداد کل ایستگاه های منطقه | آماره ناهمانگی H_1 | آماره ناهمانگی H_2 | آماره ناهمانگی H_3 |
|---------------------------|----------------------------|----------------------|----------------------|----------------------|
| ۵۰۰ | ۱۸ | -۱/۶۵ | -۱/۷۷ | -۱/۰۲ |

جدول ۶- معیارهای نکوئی برآش Z^{DIST} برای منطقه مورد مطالعه

| لجدستیک تعییم یافته GEN. LOGISTIC | GEV | مقادیر حدی تعییم یافته GEN. PARETO | پارتو تعییم یافته |
|-----------------------------------|--------|------------------------------------|-------------------|
| ۱/۷۸ | -۰/۷۹* | -۶/۲۶ | GEN. PARETO |

جدول ۷- مقادیر مشاهده ای بارندگی حداقل ماهانه (میلی متر) برای دوره های برگشت مختلف در ایستگاه های حوزه زاینده رود

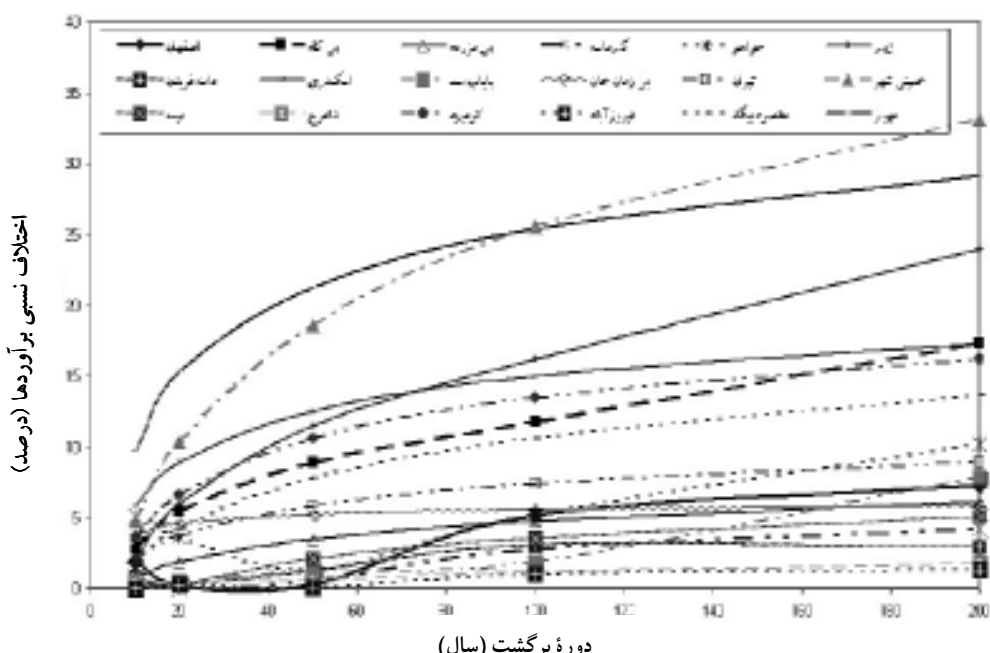
| ایستگاه | طول دوره آماری (سال) | دوره برگشت | ۲۰۰ | ۱۰۰ | ۵۰ | ۲۰ | ۱۰ |
|-------------|----------------------|------------|-------|--------|--------|--------|----|
| اصفهان | ۴۹ | | ۷۶/۲۹ | ۷۳/۷۹ | ۶۳/۷۲ | ۵۸/۸۹ | |
| پل کله | ۴۵ | | ۹۲/۸۰ | ۹۱/۹۰ | ۹۰/۱۰ | ۷۹/۸۵ | |
| پل مزرعه | ۳۴ | | — | ۷۳/۶۷ | ۷۱/۹۵ | ۶۲/۰۰ | |
| گارماسه | ۳۴ | | — | ۹۲/۲۳ | ۷۸/۴۰ | ۶۸/۹۰ | |
| خواجه | ۳۴ | | — | ۸۲/۷۲ | ۶۸/۸۳ | ۵۶/۱۹ | |
| زیار | ۳۱ | | — | ۷۰/۳۰ | ۶۱/۹۰ | ۵۵/۶۳ | |
| دامنه فریدن | ۳۴ | | — | ۱۶۱/۰۶ | ۱۴۷/۶۰ | ۱۴۰/۸۰ | |
| اسکندری | ۲۶ | | — | ۱۷۸/۱۱ | ۱۶۴/۸۵ | ۱۴۴/۲۵ | |
| پایاب سد | ۳۲ | | — | ۱۶۷/۲۳ | ۱۱۸/۵۰ | ۱۰۱/۳۵ | |
| پل زمان خان | ۳۳ | | — | ۱۹۴/۶۰ | ۱۶۳/۴۰ | ۱۵۴/۵۳ | |
| تیران | ۳۳ | | — | ۹۶/۱۶ | ۸۳/۲۰ | ۷۴/۰۸ | |
| خمینی شهر | ۱۲ | | — | — | ۸۵/۹۰ | ۷۲/۹۴ | |
| میمه | ۲۶ | | — | ۵۷/۴۰ | ۵۰/۰۷ | ۴۶/۰۰ | |
| شاخر | ۲۷ | | — | ۲۰۱/۳۹ | ۱۸۶/۰۰ | ۱۶۸/۹۵ | |
| کوهپایه | ۲۷ | | — | ۵۳/۶۷ | ۴۸/۰۰ | ۴۵/۸۳ | |
| فیروزآباد | ۲۶ | | — | ۱۳۵/۳۵ | ۹۹/۳۱ | ۸۶/۰۰ | |
| مقصود بیگ | ۲۶ | | — | ۸۰/۸۶ | ۶۳/۴۳ | ۵۱/۵۰ | |
| مهیار | ۲۶ | | — | ۶۶/۹۹ | ۶۴/۶۵ | ۶۲/۶۳ | |

جدول ۸- پارامترهای برآورد شده برای توزیع منتخب منطقه از دو روش ایستگاهی و منطقه‌ای

| برآورد ایستگاهی | | | برآورد منطقه‌ای | | | ایستگاه |
|-----------------|------------|-----------|-----------------|-----------|-----------|-------------|
| K | a | u | K | a | u | |
| ۰/۱۸۰۰۵۷ | ۱۴/۲۸۶۴۷۰ | ۳۳/۶۲۲۵۹۶ | ۰/۰۴۱۳۵۲ | ۱۲/۲۳۱۷۸۰ | ۳۳/۲۱۱۹۸۲ | اصفهان |
| -۰/۰۴۰۴۲۲۴ | ۱۶/۰۴۱۳۲۶ | ۴۰/۱۱۴۴۵۷ | ۰/۰۴۱۳۵۲ | ۱۵/۹۸۹۶۵۴ | ۴۱/۴۴۰۷۳۰ | پل کله |
| -۰/۰۰۲۲۲۳ | ۱۲/۷۴۶۳۷۳ | ۳۳/۴۹۷۱۶ | ۰/۰۴۱۳۵۲ | ۱۲/۹۵۰۶۹۸ | ۳۳/۵۶۴۵۱۷ | پل مزرعه |
| -۰/۰۱۲۰۱۴ | ۱۴/۰۳۸۱۲۴ | ۳۹/۰۴۸۸۹۰ | ۰/۰۴۱۳۵۲ | ۱۵/۱۲۰۸۲۹ | ۳۹/۱۸۸۶۴۴ | گارماسه |
| -۰/۱۲۳۶۴۵ | ۱۱/۰۵۶۹۷۱۳ | ۲۸/۴۲۱۸۷۴ | ۰/۰۴۱۳۵۲ | ۱۱/۷۴۷۰۴۷ | ۳۰/۳۹۳۱۰۱ | خواجو |
| -۰/۰۹۱۱۲۲ | ۱۰/۰۴۸۸۵۶ | ۲۶/۵۶۸۱۲۱ | ۰/۰۴۱۳۵۲ | ۱۰/۶۵۹۱۷۱ | ۲۷/۶۲۵۵۵۰ | زیار |
| ۰/۰۷۷۲۲۵ | ۳۰/۳۴۷۰۸۰ | ۷۵/۷۵۸۴۲۴ | ۰/۰۴۱۳۵۲ | ۲۹/۱۱۲۷۳۶ | ۷۵/۴۵۱۹۶۲ | دامنه فریدن |
| ۰/۱۴۱۷۰۰ | ۳۰/۶۶۶۲۷۶ | ۹۲/۶۸۹۹۸۵ | ۰/۰۴۱۳۵۲ | ۳۴/۰۵۳۸۳ | ۸۸/۲۶۱۹۰۰ | اسکندری |
| ۰/۰۱۶۲۱۴ | ۲۲/۷۷۳۲۶۵ | ۶۰/۱۷۷۳۰۱ | ۰/۰۴۱۳۵۲ | ۳۴/۰۵۳۸۳ | ۶۰/۴۲۴۰۴۶ | پایاب سد |
| ۰/۰۳۴۵۰۲ | ۲۸/۹۴۹۷۲۶ | ۸۶/۹۸۹۱۰۰ | ۰/۰۴۱۳۵۲ | ۳۲/۸۲۹۱۴۶ | ۸۵/۰۸۳۸۴۳ | پل زمان خان |
| ۰/۱۰۳۵۵۶ | ۱۶/۱۰۱۹۳۰ | ۴۳/۰۲۲۳۰۴ | ۰/۰۴۱۳۵۲ | ۱۶/۲۲۸۳۴۳ | ۴۲/۰۸۵۱۸۳ | تیران |
| -۰/۱۲۶۲۲۲ | ۱۴/۳۷۶۵۸۷ | ۳۵/۷۷۴۶۲۷ | ۰/۰۴۱۳۵۲ | ۱۴/۷۳۳۳۶۷ | ۳۸/۱۸۴۷۱۲ | خمینی شهر |
| ۰/۱۱۲۴۲۸ | ۱۰/۷۸۹۶۶۳ | ۲۵/۷۴۶۲۰۳ | ۰/۰۴۱۳۵۲ | ۹/۸۶۸۸۱۰ | ۲۵/۵۷۷۱۵۸ | میمه |
| ۰/۰۱۷۹۷۵ | ۳۴/۸۰۴۰۷۱ | ۹۳/۰۷۴۸۴۵ | ۰/۰۴۱۳۵۲ | ۳۵/۹۶۴۸۷۳ | ۹۳/۲۱۳۱۱۷ | شهرخ |
| ۰/۱۷۸۶۹۰ | ۱۰/۴۱۷۹۸۶ | ۲۷/۸۶۴۳۳۳ | ۰/۰۴۱۳۵۲ | ۱۰/۳۱۴۵۲۹ | ۲۶/۷۴۰۱۱۰ | کوهپایه |
| ۰/۰۵۴۹۰۲ | ۲۰/۸۵۴۶۲۱ | ۵۳/۵۳۷۱۴۵ | ۰/۰۴۱۳۵۲ | ۲۰/۰۷۹۷۶ | ۵۳/۴۱۲۶۲۴ | فیروزآباد |
| -۰/۰۴۴۶۹۷ | ۱۱/۳۷۳۹۷۷ | ۲۹/۴۱۰۲۶۱ | ۰/۰۴۱۳۵۲ | ۱۱/۶۶۳۱۳۹ | ۳۰/۲۲۷۵۵۱ | مقصود بیگ |
| ۰/۲۹۱۵۷۰ | ۱۳/۰۴۰۹۷ | ۴۱/۷۰۳۹۷۸ | ۰/۰۴۱۳۵۲ | ۱۴/۷۷۲۴۹۰ | ۳۸/۲۸۶۱۰۸ | مهر |

جدول ۹- چندکهای برآورد شده (میلی متر) براساس برآش توزیع منتخب

| برآورد ایستگاهی | | | | | | برآورد منطقه‌ای | | | | | | ایستگاه |
|-----------------|--------|--------|--------|--------|--|-----------------|--------|--------|--------|--------|--|-------------|
| دوره برگشت | | | | | | دوره برگشت | | | | | | |
| ۲۰۰ | ۱۰۰ | ۵۰ | ۲۰ | ۱۰ | | ۲۰۰ | ۱۰۰ | ۵۰ | ۲۰ | ۱۰ | | |
| ۸۶/۶۶ | ۸۱/۸۳ | ۷۶/۶۴ | ۶۸/۵۹ | ۶۱/۵۰ | | ۹۳/۵۴ | ۸۶/۳۲ | ۷۶/۸۶ | ۶۸/۵۷ | ۶۰/۳۵ | | اصفهان |
| ۱۳۷/۸۴ | ۱۲۱/۲۱ | ۱۰۷/۹۱ | ۹۷/۷۴ | ۷۷/۹۱ | | ۱۱۷/۴۹ | ۱۰۸/۴۲ | ۹۹/۰۶ | ۸۶/۱۶ | ۷۵/۸۰ | | پل کله |
| ۱۰۱/۰۰ | ۹۲/۰۴ | ۸۳/۰۶ | ۷۱/۱۰ | ۶۱/۸۸ | | ۹۵/۱۶ | ۸۷/۸۲ | ۸۰/۲۳ | ۶۹/۷۶ | ۶۱/۳۹ | | پل مزرعه |
| ۱۱۵/۸۱ | ۱۰۵/۴۴ | ۹۵/۱۳ | ۸۱/۵۰ | ۷۱/۰۷ | | ۱۱۱/۱۰ | ۱۰۲/۵۳ | ۹۳/۶۷ | ۸۱/۴۵ | ۷۱/۶۸ | | گارماسه |
| ۹۴/۹۷ | ۸۳/۹۹ | ۷۳/۶۵ | ۶۰/۸۴ | ۵۸/۴۴ | | ۸۶/۱۷ | ۷۹/۵۲ | ۷۲/۶۵ | ۶۳/۱۷ | ۵۵/۵۹ | | خواجو |
| ۹۴/۹۷ | ۸۳/۹۹ | ۷۳/۶۵ | ۶۰/۸۴ | ۵۱/۶۷ | | ۷۶/۶۲ | ۷۲/۲۸ | ۶۶/۰۶ | ۵۷/۴۲ | ۵۰/۵۳ | | زیار |
| ۲۰۷/۶۶ | ۱۹۳/۲۶ | ۱۷۸/۰۰ | ۱۵۶/۳۰ | ۱۳۸/۴۵ | | ۲۱۳/۹۱ | ۱۸۷/۴۱ | ۱۸۰/۳۶ | ۱۵۶/۸۲ | ۱۳۸/۰۱ | | دامنه فریدن |
| ۲۰۶/۹۲ | ۱۹۶/۳۴ | ۱۸۴/۶۱ | ۱۶۷/۰۴ | ۱۵۱/۷۸ | | ۲۵۰/۲۲ | ۲۳۰/۹۲ | ۲۱۰/۹۸ | ۱۸۳/۴۵ | ۱۶۱/۴۴ | | اسکندری |
| ۱۰۷/۷۵ | ۱۶۱/۱۳ | ۱۴۶/۲۶ | ۱۲۶/۲۲ | ۱۱۰/۵۰ | | ۱۷۱/۳۱ | ۱۵۸/۰۹ | ۱۴۴/۴۴ | ۱۲۵/۰۹ | ۱۱۰/۵۲ | | پایاب سد |
| ۲۲۷/۱۱ | ۲۱۰/۱۳ | ۱۹۲/۶۷ | ۱۶۸/۷۱ | ۱۴۹/۶۷ | | ۲۴۱/۲۲ | ۲۲۲/۶۱ | ۲۰۳/۳۸ | ۱۷۶/۸۴ | ۱۵۵/۰۶ | | پل زمان خان |
| ۱۰۸/۶۷ | ۱۰۱/۹۶ | ۹۴/۷۲ | ۸۴/۲۰ | ۷۵/۳۶ | | ۱۱۹/۳۲ | ۱۱۰/۱۱ | ۱۰۰/۶۰ | ۸۷/۴۷ | ۷۶/۹۸ | | تیران |
| ۱۴۴/۱۲ | ۱۲۵/۴۴ | ۱۰۸/۲۶ | ۸۷/۵۸ | ۷۳/۱۹ | | ۱۰۸/۲۶ | ۹۹/۹۰ | ۹۱/۲۸ | ۷۹/۳۶ | ۶۹/۸۴ | | خمینی شهر |
| ۶۸/۸۰ | ۶۴/۵۰ | ۵۹/۸۳ | ۵۲/۹۹ | ۴۷/۲۰ | | ۷۲/۵۱ | ۶۶/۹۲ | ۶۱/۱۴ | ۵۳/۱۶ | ۴۶/۷۸ | | میمه |
| ۲۶۸/۸۹ | ۲۴۶/۷۴ | ۲۲۴/۲۳ | ۱۹۳/۷۴ | ۱۶۹/۶۳ | | ۲۶۴/۲۷ | ۲۴۳/۸۸ | ۲۲۲/۸۱ | ۱۹۳/۷۴ | ۱۷۰/۰۵ | | شهرخ |
| ۶۳/۵۴ | ۶۰/۵۴ | ۵۷/۱۳ | ۵۱/۸۸ | ۴۷/۱۷ | | ۷۵/۸۱ | ۶۹/۹۶ | ۶۳/۹۲ | ۵۵/۵۸ | ۴۸/۹۱ | | کوهپایه |
| ۱۴۹/۳۷ | ۱۳۸/۳۲ | ۱۲۶/۷۸ | ۱۱۰/۸۹ | ۹۷/۶۸ | | ۱۵۱/۴۳ | ۱۳۹/۷۵ | ۱۲۷/۶۸ | ۱۱۱/۰۲ | ۹۷/۷۰ | | فیروزآباد |
| ۹۷/۳۷ | ۸۷/۵۰ | ۷۷/۹۰ | ۶۵/۵۴ | ۵۶/۳۷ | | ۸۵/۷۰ | ۷۹/۰۹ | ۷۲/۲۵ | ۶۲/۸۳ | ۵۵/۲۹ | | مقصود بیگ |
| ۷۶/۸۸ | ۷۴/۷۳ | ۷۲/۰۹ | ۶۷/۶۲ | ۶۳/۲۲ | | ۱۰۸/۵۴ | ۱۰۰/۱۷ | ۹۱/۵۲ | ۷۹/۵۸ | ۷۰/۰۳ | | مهر |



شکل ۳- درصد اختلاف بین برآوردهای منطقه‌ای و ایستگاهی بازندگی حداکثر ماهانه حوزه زاینده‌رود

مناسب و طول دوره آماری کافی (بیش از ۵۰ سال حداقل) در دسترس نیست، بنابراین تنها راهکار مناسب و موجود برای انجام تحلیل‌های فراوانی با استفاده از گشتاورهای خطی از انتخاب توزیع تا برآورد پارامترها و چندک‌ها استفاده از روش‌های تحلیل منطقه‌ای می‌باشد.

در کل می‌توان گفت از آن جایی که بهینه بودن گشتاورهای خطی به صورت مجانب است [۱]. لذا بنابر قضیه حد مرکزی اندازه نمونه، نقش مهمی در دقت برآوردهای حاصل از کاربرد این روش در پیش‌بینی پدیده‌های حدی هیدرولوژیک دارد و به این دلیل که در بیشتر موارد آمار

۵- مراجع

- 1- Hosking, J. R. M. (1990). "L-moments: analysis and estimation of distributions using linear combinations of order statistics," *J. of Royal Statistical Society*, 52, 105-124.
- 2- Hosking, J. R. M. (1989). "Some theoretical results concerning L-monents." *IBM Research Division*.T. J. Watson Research Center Yorktown Heights, N.Y.
- 3- Lanczos, C. (1957). "Applied analysis." *Pitman*, London. 286.
- 4- Hosking, J. R. M., and Wallis, J. R. (1993). "Some statistical usefull in regional frequency analysis." *J. Water Resources Research*, 29. (2), 271-281.
- 5- Hosking, J. R. M.(1988). "The 4-parameter kappa distribution." *IBM Research Division*,Yorktown Heights, NY., 10598.
- 6- Hosking, J. R. M. (1991). " Fortran routins for use with the method of L-moments." Version 2, *IBM Research Division*,Yorktown Heights, NY., 10598.
- 7- Hosking J. R. M. (2000). "Fortran routines for use with the method of L-moments." Version 3.03, *IBM Research Division*, Yorktown Heights, N.Y.
- 8- اسلامیان، س. س. و سلطانی، س. (۱۳۸۱). "تحلیل سیلاب." انتشارات ارکان، ۲۰۷
- 9- Hosking, J. R. M., Wallis, J. R., and Wood, E. F. (1985). "Estimation of generalized extreme value distribution by the method of probability weighted moments." *J. Technometrics*, 27, 339-349.